

Correction de l'examen 2014

Electrostatique et magnétostatique (11PM21)

Thibault Hiron
thibault.hiron@univ-bpclermont.fr

4 mai 2015

A Segment chargé

1 Calcul du potentiel électrostatique

On étudie ici un système de charges continu. Ainsi, le potentiel électrostatique engendré au point $M(x)$ par le segment chargé s'écrit :

$$V(x) = \int_A^B \frac{dq}{4\pi\epsilon_0 PM} \quad (1)$$

Aussi, une portion de segment de longueur dx' autour d'un point $P(x')$ a pour charge : $dq = \lambda dx'$. Le potentiel électrostatique s'écrit par conséquent :

$$\begin{aligned} V(x) &= \int_A^B \frac{\lambda dx'}{4\pi\epsilon_0 PM} \\ &= \int_{-d}^d \frac{\lambda}{4\pi\epsilon_0 (x - x')} dx' \\ &= \frac{\lambda}{4\pi\epsilon_0} \int_{-d}^d \frac{dx'}{x - x'} \\ &= \frac{\lambda}{4\pi\epsilon_0} [-\ln(x - x')]_{-d}^d \end{aligned}$$

On a donc le potentiel électrostatique généré sur l'axe Ox par le segment chargé qui vaut :

$$V(x) = \frac{\lambda}{4\pi\epsilon_0} \ln \left(\frac{x+d}{x-d} \right) \quad (2)$$

2 Champ électrostatique

L'axe Ox est axe de symétrie du système de charges, donc le champ électrostatique sur l'axe est orienté suivant \vec{e}_x : $\vec{E}(M) = E_x(x)\vec{e}_x$. Il est donc possible d'utiliser la relation champ-potential à partir du potentiel calculé à la question précédente.

$$\vec{E} = -\overrightarrow{grad}V \quad (3)$$

On a donc ici :

$$\begin{aligned}
 E_x(x) &= - \frac{dV(x)}{dx} \\
 &= - \frac{\lambda}{4\pi\epsilon_0} \frac{d}{dx} \left[\ln \left(\frac{x+d}{x-d} \right) \right] \\
 &= - \frac{\lambda}{4\pi\epsilon_0} \frac{\frac{x-d - (x+d)}{(x-d)^2}}{\frac{x+d}{x-d}} \\
 &= - \frac{\lambda}{4\pi\epsilon_0} \frac{-2d}{(x-d)(x+d)}
 \end{aligned}$$

Ainsi, le champ électrostatique généré au point $M(x)$ par le segment chargé s'écrit :

$$\boxed{\vec{E}(x) = \frac{\lambda d}{2\pi\epsilon_0(x^2 - d^2)} \vec{e}_x} \quad (4)$$

3 Limite pour $|x| \gg d$

Lorsque le point M est très éloigné du segment chargé, on a :

$$\boxed{\vec{E}(x) = \frac{\lambda d}{2\pi\epsilon x^2} \vec{e}_x} \quad (5)$$

Le champ électrostatique à un point très éloigné du segment chargé correspond à celui d'une charge ponctuelle de charge $2\lambda d$. Ceci est cohérent avec le fait que lorsque l'on est très éloigné du segment, celui-ci semble suffisamment « petit » pour sembler ponctuel.

B Fil infini

1 Théorème d'Ampère

Le théorème d'Ampère s'énonce comme suit :

La circulation du champ magnétostatique sur un chemin fermé Γ est égale à la somme des courants enlacés par ce chemin multipliée par la perméabilité du vide μ_0 .

Ceci se traduit mathématiquement de la manière suivante :

$$\boxed{\oint_{\Gamma} \vec{B} \cdot d\vec{l} = \mu_0 I_{enlacs}} \quad (6)$$

2 Champ à l'extérieur du fil infini

Le plan contenant le fil et le point M est plan de symétrie donc $\vec{B}(M) = B(M)\vec{e}_{\varphi}$.

Aussi, le système est invariant par rotation autour de l'axe Oz et par translation le long de cet axe donc : $B(M) = B(a)$.

On choisit comme contour Γ d'intégration, un cercle de rayon r , centré sur l'axe du fil et orthogonal à celui-ci.

On a donc la circulation du champ magnétostatique le long de Γ qui s'écrit :

$$\mathcal{C} = \oint_{\Gamma} \vec{B}(r) \cdot d\vec{l} = \int_{\theta=0}^{2\pi} B(r) r d\theta = 2\pi r B(r) \quad (7)$$

Comme à l'extérieur du fil, le courant enlacé a une intensité I , on a le champ magnétostatique qui vaut :

$$\vec{B}_{ext}(r) = \frac{\mu_0 I}{2\pi r} \vec{e}_{\theta} \quad (8)$$

3 Champ à l'intérieur du fil infini

a Intensité du courant enlacé

Le fil est parcouru de façon uniforme par le courant, ce qui nous donne une densité surfacique de courant $\vec{j} = \frac{I}{\pi a^2} \vec{e}_z$. Aussi, pour une densité surfacique de courant, l'intensité enlacée par le parcours Γ qui définit une surface $S = 2\pi r$ vaut $I(r) = \iint_S \vec{j} d\vec{S}$ d'où la relation :

$$I(r) = \left(\frac{r}{a}\right)^2 I \quad (9)$$

b Calcul du champ magnétique

On en déduit l'expression du théorème d'Ampère :

$$2\pi r B_{int}(r) = \mu_0 I(r) = \frac{\mu_0 I}{2\pi r} \left(\frac{r}{a}\right)^2$$

D'où le champ magnétostatique à l'intérieur du conducteur :

$$B_{int}(r) = \frac{\mu_0 I}{2\pi} \frac{r}{a^2} \quad (10)$$

C Spire et solénoïde

1 Symétries du système

Tout plan contenant l'axe de la spire est plan d'antisymétrie, donc le champ magnétostatique sur l'axe est selon \vec{e}_z . Ainsi :

$$\vec{B}_{spi}(M) = B_{spi}(M) \vec{e}_z \quad (11)$$

2 Expression de \vec{B}_{spi}

On applique la loi de Biot et Savart en un point M de l'axe $x'Ox$ ce qui nous donne :

$$\vec{B}(M) = \frac{\mu_0 I}{4\pi} \oint_{Spire} \frac{d\vec{l} \wedge \overrightarrow{PM}}{PM^3} \quad (12)$$

En utilisant le repère cylindrique $(O, \vec{e}_r, \vec{e}_\varphi, \vec{e}_z)$, on a :

- $d\vec{l} = R d\theta \vec{e}_\varphi$
- $\overrightarrow{PM} = -R \vec{e}_R + x \sin \alpha \vec{e}_x$
- $r = R / \sin \alpha$

Aussi, $\vec{e}_\varphi \wedge \vec{e}_z = \vec{e}_r$ et $\vec{B}(M) = B(M) \vec{e}_z$, il est donc possible d'éliminer du produit vectoriel le terme en $z \sin \theta$. On a donc :

$$\begin{aligned} \vec{B}(M) &= \frac{\mu_0 I}{4\pi} \oint_{Spire} \frac{R d\varphi \vec{e}_\varphi \wedge R \vec{e}_r}{r^3} \\ &= \frac{\mu_0 I R^2}{4\pi} \int_{\theta=0}^{2\pi} \frac{d\theta}{R^3} \vec{e}_z \\ &\quad \frac{1}{\sin^3 \alpha} \end{aligned}$$

Ce qui nous donne le champ magnétostatique d'une spire circulaire le long de son axe :

$$\vec{B}(M) = \frac{\mu_0 I}{2R} \sin^3 \theta \vec{e}_z \quad (13)$$

3 Champ magnétostatique pour un solénoïde

a Solénoïde de longueur L

Un solénoïde est une succession de N spires, on peut donc écrire : $d\vec{B} = \vec{B}_{spi}$ et intégrer sur l'ensemble du solénoïde avec $dn = ndz$ le nombre de spires contenues entre z et $z + dz$, d'où :

$$\vec{B}(M) = \int_{sol} \vec{B}_{spi} dn \quad (14)$$

On a donc :

$$\vec{B}_{sol} = \int_{-L/2}^{L/2} n \frac{\mu_0 I}{2R} \sin^3 \theta dz \vec{e}_z$$

Or, $z = -\frac{R}{\tan \theta}$ donc $dz = \frac{R d\theta}{\sin^2 \theta}$, d'où :

$$\vec{B}_{sol} = n \frac{\mu_0 I}{2R} \vec{e}_z \int_{\theta_2}^{\theta_1} \sin \theta d\theta$$

On a donc le champ magnétostatique créé par un solénoïde qui s'écrit :

$$\vec{B}(M) = \frac{\mu_0 n I}{2} (\cos \theta_2 - \cos \theta_1) \vec{e}_z \quad (15)$$

b Solénoïde de longueur infinie

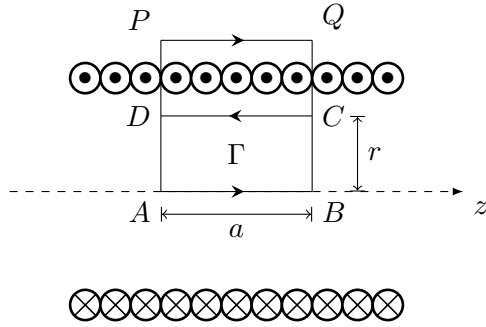
Pour un solénoïde infini, $\theta_1 \rightarrow \pi$ et $\theta_2 \rightarrow 0$, d'où :

$$\boxed{\vec{B} = \mu_0 n I \vec{e}_z} \quad (16)$$

c Utilisation du théorème d'Ampère

Tout plan orthogonal à l'axe du solénoïde est plan de symétrie. On a donc $\vec{B}(M) = B(M)\vec{e}_z$. De plus la distribution de courant est invariante par translation selon z et par rotation autour de Oz , on a donc :

$$\boxed{\vec{B}(M) = B(r)\vec{e}_z} \quad (17)$$



On choisit comme contour d'intégration un circuit rectangulaire.

On place ce contour orienté $\Gamma = ABCD$ à l'intérieur du solénoïde, ce qui donne pour la circulation du champ magnétostatique :

$$\begin{aligned} \mathcal{C} &= \oint_{\Gamma} \vec{B} \cdot d\vec{l} = \int_A^B \vec{B} \cdot d\vec{l} + \int_B^C \vec{B} \cdot d\vec{l} + \int_C^D \vec{B} \cdot d\vec{l} + \int_D^A \vec{B} \cdot d\vec{l} \\ &= 0 + aB(O) + 0 - aB(r) \end{aligned}$$

Or, les courants enlacés par Γ sont nuls. Le théorème d'Ampère implique donc

$$\boxed{\vec{B}(r < R) = \vec{B}(O) = \vec{B}_{int}} \quad (18)$$

On place maintenant le contour orienté $\Gamma = CDPQ$ à cheval sur le solénoïde et donc $I_{enlacs} = naI$. En appliquant le théorème d'Ampère, on a :

$$\begin{aligned} \mathcal{C} &= \oint_{\Gamma} \vec{B} \cdot d\vec{l} = \int_D^P \vec{B} \cdot d\vec{l} + \int_P^Q \vec{B} \cdot d\vec{l} + \int_Q^C \vec{B} \cdot d\vec{l} + \int_C^D \vec{B} \cdot d\vec{l} \\ &= 0 + aB(r) + 0 - aB_{int} \\ &= \mu_0 naI \end{aligned}$$

D'où le champ magnétostatique à l'extérieur du solénoïde qui s'écrit :

$$\boxed{\vec{B}(r > R) = \vec{B}_{int} - \mu_0 n I} \quad (19)$$

En assimilant le solénoïde infini à un solénoïde de rayon infini, on a par symétrie, le champ magnétostatique au centre du solénoïde qui est nul : il existe une infinité de plans de symétries passant par le centre ce qui impose que $\vec{B}_{centre} = \vec{0}$. De plus, comme à l'extérieur du solénoïde, quelque soit le contour choisi, $I_{enlacs} = 0$, on a nécessairement $\vec{B}_{ext} = \vec{B}_{centre} = \vec{0}$.

On a donc le champ magnétostatique sur l'axe du solénoïde infini qui s'écrit :

$$\boxed{\vec{B} = \mu_0 n I \vec{e}_z} \quad (20)$$

Notes du correcteur

Subdivision des points

Question	Élément de réponse	Points
A.1	Potentiel distribution de charge	1
	Obtention du résultat final	1.5
A.1	Relation champ-potentiel	1
	Obtention du résultat final	1.5
A.3	Champ loin de la distribution de charge	1
B.1	Théorème littéral	1
	Théorème mathématique	1
B.2	Symétries et invariances	0.5
	Champ magnétostatique extérieur	0.5
B.3	Intensité du courant enlacé	0.5
	Champ magnétostatique intérieur	0.5
C.1	Symétries et invariances	1
C.2	Loi de Biot et Savart	1
	Champ magnétostatique d'une spire	1.5
C.3.a	Formule générale	0.5
	Champ magnétostatique pour un solénoïde fini	1
C.3.b	Limites de θ_1 et θ_2 en $+\infty$	0.25
	Champ magnétostatique pour un solénoïde infini	0.25
C.3.c	Symétries et invariances	0.75
	Définition des contours	0.5
	Champ magnétostatique à l'intérieur du solénoïde	0.75
	Champ magnétostatique à l'extérieur du solénoïde	0.75
	Justification de $\vec{B}_{est} = \vec{0}$	1
	Champ magnétostatique sur l'axe	0.75

Question A.2

On obtient exactement le même résultat (ouf) et avec un nombre d'étapes de calcul similaires en utilisant la formule $d\vec{E}(x) = \frac{\lambda dx'}{4\pi\epsilon_0(x-d)^2}$.
Le choix dépendant alors notamment d'une préférence personnelle entre dérivation et intégration.

Remarques globales

Beaucoup des résultats de cet examen avaient déjà été vu en TD, à un facteur près, ou à un changement de notation près. Et il était possible de *sauver les meubles* en ayant seulement appris son cours. En effet, un premier comptage donne 5 points pour les formules du cours et 3 points pour les symétries et autres questions faisant appel à la réflexion mais pas au calcul.